

## ② Kwantowanie pola elektromagnetycznego:

Wyrażenie na potencjał wektorowy:

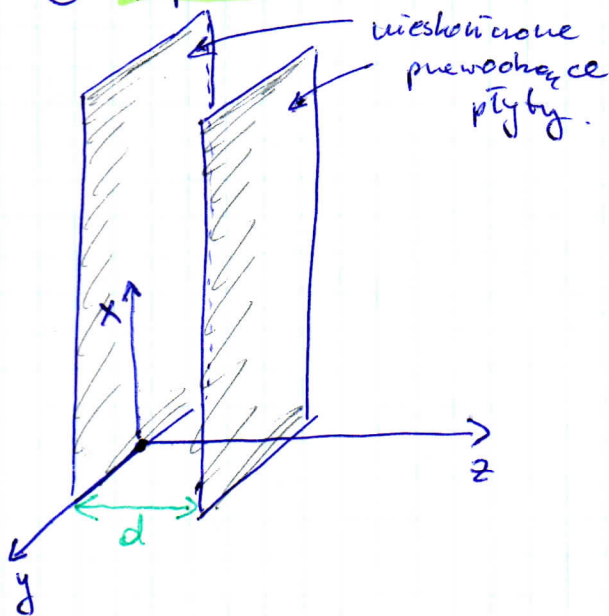
$$\hat{A}(\vec{r}, t) = \frac{1}{\sqrt{V}} \sum_{\vec{k}} \sum_{\lambda} \sqrt{\frac{\hbar}{2\epsilon_0 \omega_n}} \left[ a_{\vec{k}\lambda} e^{i(\vec{k} \cdot \vec{r} - \omega_n t)} + a_{\vec{k}\lambda}^* e^{-i(\vec{k} \cdot \vec{r} - \omega_n t)} \right] \vec{\epsilon}_{\lambda}$$

Hamiltonian dla fotonów:

$$\hat{H} = \sum_{\vec{k}\lambda} \hbar \omega_n (a_{\vec{k}\lambda}^* a_{\vec{k}\lambda} + \frac{1}{2})$$

welktor polaryzacji

## ① Efekt Casimira



Klasycznie:

Nieitekotny ~~wielkości~~ określone periodycznie wewnątrz przestrzeni na kierunku x i y. Ponadto chcemy, aby siedzowa styczna pola elektromagnetycznego i normalne pola magnetycznego zmieniły na powierzchniach pionowych płyt.

Potencjał wektorowy o  $k_z \neq 0$ :

$$\vec{A} = \vec{\epsilon} e^{ik_x x} e^{ik_y y} \sin(k_z z) e^{i\omega_n t},$$

$$\text{gdzie } k_x = \frac{2\pi}{L_x} n_x, \quad k_y = \frac{2\pi}{L_y} n_y, \quad k_z = n_z \frac{\pi}{d},$$

$$\text{gdzie } n_x, n_y \in \mathbb{Z}, \quad n_z \in \mathbb{Z}_{++}$$

$$\vec{k} = (k_x, k_y, k_z), \quad \vec{\epsilon} - \text{welktor polaryzacji}$$

nieważ  $\varphi = \text{const}$  oraz  $\vec{E} = -\vec{\nabla}\varphi - \frac{\partial \vec{A}}{\partial t}$ , więc

$$\vec{E} = i\omega_n \vec{\varepsilon} e^{ik_x x} e^{ik_y y} \sin(k_z z) e^{-i\omega_n t}$$

natomiast koniecznie z  $\vec{B} = \vec{\nabla} \times \vec{A}$  dostajemy, że

$$\vec{B} = \vec{k} \times \vec{\varepsilon} e^{ik_x x} e^{ik_y y} \cos(k_z z) e^{-i\omega_n t}$$

Znikanie składowej stycznej pola elektrycznego jest zapewnione przez  $\sin(k_z z)$  w wyraseniu na  $\vec{E}$ , natomiast znikanie składowej normalnej pola magnetycznego wymaga, aby:

$$\vec{e}_z \cdot (\vec{k} \times \vec{\varepsilon}) = 0, \text{ czyli } \vec{k} \cdot \vec{\varepsilon} = 0$$

Koniecznie z prawa Gaussa dostajemy ponadto:

$$\vec{\nabla} \cdot \vec{E} = 0 \Rightarrow \begin{aligned} k_x \varepsilon_y - k_y \varepsilon_x &= 0 \\ k_x \varepsilon_x + k_y \varepsilon_y + k_z \varepsilon_z &= 0 \end{aligned} \quad \forall \vec{k} \neq k_z \neq 0$$

Kwantowo: gęstość energii we właściwych

Hamiltonian:  $\hat{H} = \sum_{\vec{k}} \hbar \omega_{\vec{k}} (a_{\vec{k},x}^+ a_{\vec{k},x} + \frac{1}{2})$

polaryzacji w naszym przypadku jest bez znaczenia.

Ω polaryzacji sprawdzającej rozwinięcie potem.

Stan próżni elektromagnetycznej definiujemy jako:

$$a_{\vec{k},x}|0\rangle = 0,$$

ponieważ  $[a_{\vec{k},x}, a_{\vec{k}',x}^+] = \delta_{\vec{k},\vec{k}'} \Omega$ , więc więc

mówimy rozłożyc stan próżni jako:

$$|0\rangle = |0_{\vec{k}_1}\rangle \otimes |0_{\vec{k}_2}\rangle \otimes \dots \otimes |0_{\vec{k}_N}\rangle$$

z związku z tym energia określona przez dane jest wyrażeniem:

$$\langle E \rangle = \langle 0 | \hat{H} | 0 \rangle = \langle 0 | \sum_{\vec{k}} \left( \hbar \omega_{\vec{k}} a_{\vec{k}}^{\dagger} a_{\vec{k}} + \frac{1}{2} \hbar \omega_{\vec{k}} \right) | 0 \rangle = \\ = \frac{1}{2} \sum_{\vec{k}} \hbar \omega_{\vec{k}} \quad \leftarrow \text{energia prężni}$$

Zauważmy, że energia prężni jest nieskończona!

Wypisujemy wyrażenie na energię wewnętrz dla  $k_z \neq 0$ :

$$E_{\text{cav}}^* = \frac{1}{2} \hbar c \sum_{n_x} \sum_{n_y} \sum_{\substack{n_z=+\infty \\ k_z \neq 0}}^{\infty} \left[ \left( \frac{2\pi}{L_x} n_x \right)^2 + \left( \frac{2\pi}{L_y} n_y \right)^2 + \left( \frac{\pi d}{\lambda} n_z \right)^2 \right]^{1/2}$$

*Przyjmuje się, że nie występują  $k_z = 0$ .*

$$k = \sqrt{k_x^2 + k_y^2 + k_z^2}$$

$$\omega_n = c k$$

Pochodząc z rozważani "tylet" oto nieskończoność dostajemy:

$$\frac{E_{\text{cav}}^*}{L_x L_y} = \frac{1}{2} \hbar c \sum_{\substack{n=+\infty \\ n \neq 0}}^{\infty} \int_{-\infty}^{\infty} \frac{dk_x}{2\pi} \int_{-\infty}^{\infty} \frac{dk_y}{2\pi} \left[ k_x^2 + k_y^2 + \left( \frac{\pi d}{\lambda} n \right)^2 \right]^{1/2}$$

Niedzielski, 12.2019, zadanie: suma od  $-\infty$  do  $+\infty$ ,

aby uwzględnić polaryzację

$$\langle E \rangle = \frac{\hbar c}{(2\pi)^2} \int dk_x \int dk_y \left[ \frac{1}{2} \sqrt{k_x^2 + k_y^2} + \sum_{n=1}^{\infty} \sqrt{k_x^2 + k_y^2 + \left( \frac{\pi d}{\lambda} n \right)^2} \right]$$

w przypadku swobodnego pola elektromagnetycznego analogiczne wyrażenie przyjmiemy postaci:

$$\frac{E_{\text{free}}}{V} = \frac{1}{2} \frac{\hbar c}{(2\pi)^3} \int_{-\infty}^{+\infty} dk_x \int_{-\infty}^{+\infty} dk_y \int_{-\infty}^{+\infty} dk_z \sqrt{k_x^2 + k_y^2 + k_z^2}$$

$k_i = 0 \rightarrow$   
tylko jedne polaryzacje

Obe wyrażenia są rozbieżne i jeżeli chcemy

uzyskać połączony wynik musimy je zregulować.

## procedura regularyzacji funkcji Riemanna:

Regulatory zegi  $\equiv$  procedury usuwania osobliwości z obserwabli (głównie w QFT)

Energia pola elektromagnetycznego powinna być taka:

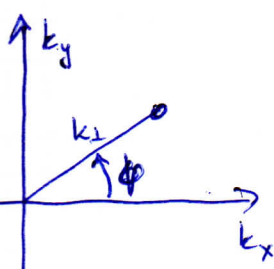
$$\langle E \rangle = \frac{\hbar}{2} \int_{-\infty}^{+\infty} dk_x \int_{-\infty}^{+\infty} dk_y \frac{L_x L_y}{(2\pi)^2} \sum_{n=-\infty}^{+\infty} \omega_n$$

suma po dwóch możliwośćach polaryzacji zostało uwzględniona poprzez rozciąganie sumy od  $[-\infty, +\infty]$ , przy czym dla  $n=0$  i uchodzić dla sumy tylko raz tak jak być powinno!

Jednak z metod regularyzacji byliby wprowadzone obliczenia ze względu na  $\omega$ , jednak my postępujemy inaczej pochłaniąc nasze rozbicie na wybrane podcałkowe przez  $\omega^2$ , które golić potencjalnie s moze być zrozumiałe, wtedy:

$$\langle E(s) \rangle = \frac{\hbar}{2} \int_{-\infty}^{+\infty} dk_x \int_{-\infty}^{+\infty} dk_y \frac{1}{(2\pi)^2} \sum_{n=-\infty}^{+\infty} \omega \cdot \omega^{-2s} L_x L_y$$

wprowadzamy zniczne  $k_\perp = \sqrt{k_x^2 + k_y^2}$  i  $\varphi \in [0, 2\pi]$



~~$$\langle E(s) \rangle = L_x L_y \frac{\hbar c}{2} \int_0^{2\pi} d\varphi \int_0^\infty dk_\perp k_\perp \left( \sum_{n=-\infty}^{+\infty} \left( k_\perp^2 + \left(\frac{\pi}{d} n\right)^2 \right)^{\frac{1-2s}{2}} \right)$$~~

$$\begin{aligned} \langle E(s) \rangle &= \frac{L_x L_y}{(2\pi)^2} \frac{\hbar c}{2} \int_0^{2\pi} d\varphi \int_0^\infty dk_\perp k_\perp \left\{ \sum_{n=-\infty}^{+\infty} \left( k_\perp^2 + \left(\frac{\pi}{d} n\right)^2 \right)^{\frac{1-2s}{2}} \right\} = \\ &= \frac{L_x L_y}{2\pi} \frac{\hbar c}{2} \int_0^\infty dk_\perp k_\perp \sum_{n=-\infty}^{+\infty} \left( k_\perp^2 + \left(\frac{\pi}{d} n\right)^2 \right)^{\frac{1-2s}{2}} \end{aligned}$$

uproszczenie znicz

Wprowadzamy zmienne:

$$y = \frac{k_1 d}{n\pi} \Rightarrow k_1 = \frac{y n\pi}{d}$$

$$\langle E(s) \rangle = \frac{L \times L_y}{2\pi} \frac{\hbar c}{2} \sum_{n=-\infty}^{+\infty} \int_0^{\infty} \frac{n\pi}{d} dy \frac{n\pi}{d} y \left( \left( \frac{n\pi}{d} \right)^2 y^2 + \left( \frac{n\pi}{d} \right)^2 \right)^{1/2-s} =$$

$$= \frac{L \times L_y}{2\pi} \frac{\hbar c}{2} \sum_{n=-\infty}^{+\infty} \int_0^{\infty} dy y (y^2 + 1)^{1/2-s} \left( \frac{n\pi}{d} \right)^2 \left( \frac{n\pi}{d} \right)^{1-2s} =$$

$$= \frac{L \times L_y}{2\pi} \frac{\hbar c}{2} \sum_{n=-\infty}^{+\infty} \int_0^{\infty} dy y (y^2 + 1)^{1/2-s} \left( \frac{n\pi}{d} \right)^{3-2s}$$

Maszyn zetem:  $\langle E(s) \rangle = \frac{L \times L_y}{2\pi} \hbar c \sum_{n=-\infty}^{\infty} \int_0^{\infty} dy (y^2 + 1)^{1/2} \left( \frac{n\pi}{d} \right)^{3-2s}$

Powyższe wyrażenie jest rozkierowane dla  $s > 0$ , ale jest zbieżne dla  $s \geq 3/2$ . Warto zaznaczyć, że Maszyn zetem wykonać to wyrażenie w domenie jego zbieżności, a następnie uzyskaną wynik analitycznie przedstawić dla  $s = 0$ .

Cótki możemy policzyć w prosty sposób:

$$\int_0^{\infty} y (y^2 + 1)^{1/2-s} dy = \begin{cases} u = y^2 \\ du = 2y dy \end{cases} = \frac{1}{2} \int_0^{\infty} (u+1)^{1/2-s} du =$$

$$= \begin{cases} w = u+1 \\ du = dw \end{cases} = \frac{1}{2} \int_1^{\infty} w^{1/2-s} dw = \frac{1}{2} \left( \frac{1}{3/2-s} \right) w^{3/2-s} \Big|_1^{\infty} =$$

$$= -\frac{1}{2} \left( \frac{1}{3/2-s} \right) \Big|_{s=0} = -\frac{1}{3}$$

Przedstawić analitycznie

$$\langle E(d) \rangle = -\frac{\hbar c \pi^2 L_x L_y}{6} \sum_{n=1}^{\infty} \frac{1}{n^{2s-3}}$$

$$\begin{aligned} \langle E(d) \rangle &= -\frac{\hbar c \pi^2 L_x L_y}{6} \sum_{n=1}^{\infty} \frac{1}{d^{2s-3}} = \\ &= -\frac{\hbar c \pi^2 L_x L_y}{6} \left. \frac{1}{d^3} \zeta(2s-3) \right|_{s=0} = -\frac{\hbar c \pi^2 L_x L_y}{6} \frac{1}{d^3} \zeta(-3) \end{aligned}$$

funkcja  $\zeta$   
Riemanna

wiemy, że  $\zeta(-3) = \frac{1}{120}$ , więc

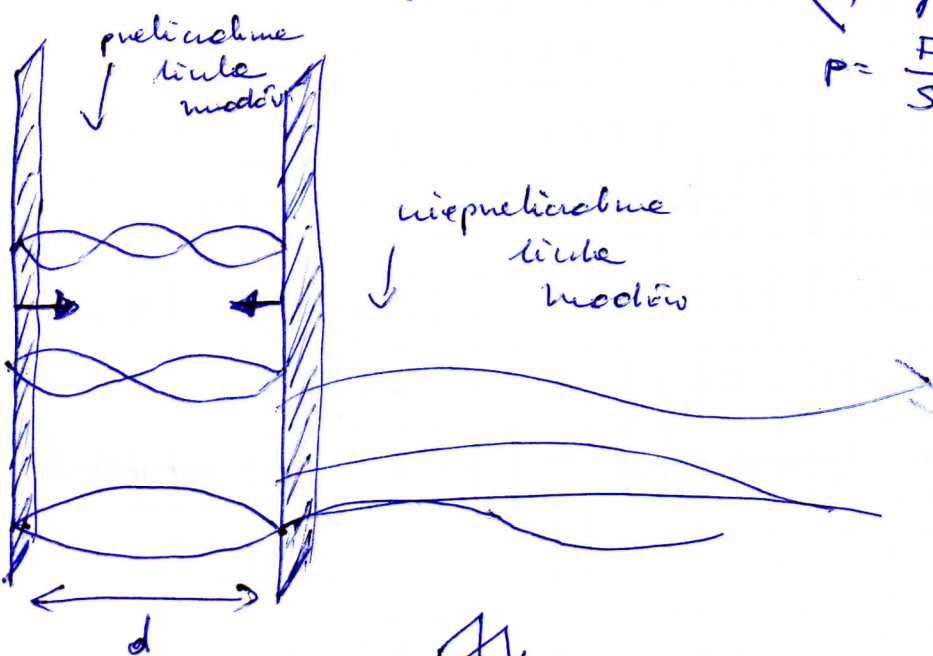
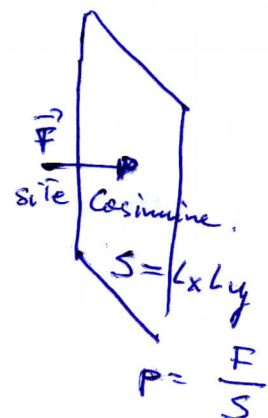
$$\frac{\langle E(d) \rangle}{V} = \frac{\langle E(d) \rangle}{L_x L_y d} = -\frac{\hbar c \pi^2}{720} \frac{1}{d^4}$$

liczenie Casimira:

$$P = -\frac{1}{L_x^2 L_y} \frac{\partial \langle E(d) \rangle}{\partial d} = -\frac{\hbar c}{240} \frac{\pi^2}{d^3 + d^4}$$

pole powierzchni  
płyty

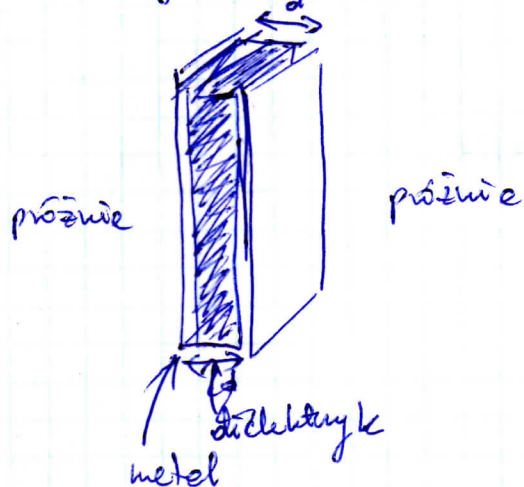
przyciągające  
site



$$\begin{aligned} F &= -0,013 \text{ dydyny} = \\ &= -9,013 \cdot 10^{-5} N = \\ &= -1,3 \cdot 10^{-7} N \end{aligned}$$



## Sity Casimire - Lifszycza



Powstające na powierzchni pleszczyne powodują wywinięcie odpowiadających sity nieskończonej płytkeści

$$E_0(d) = \frac{1}{\pi} \left( \frac{L_x L_y}{(2\pi)^2} \right) \int d^2 k \left[ (\omega_+(k) - \frac{\omega_p}{\sqrt{2}}) + (\omega_-(k) - \frac{\omega_p}{\sqrt{2}}) \right],$$

$$\text{gdzie } \omega_{\pm}(k) = \frac{\omega_p}{\sqrt{2}} \sqrt{1 \pm e^{-kd}}$$

$$\text{stąd } \rightarrow \epsilon(\omega) = 1 - \frac{\omega_p^2}{\omega^2} \leftarrow \text{częstość pleszczyne}$$

$$\beta(d) = -\frac{1}{L_x L_y} \frac{\partial E_0(d)}{\partial d} = 0,0078 \frac{\frac{\omega_p}{d^3}}{d^3}$$

## Krytyczne sity Casimire

Do pojawienia się krytycznych sít Casimira wystarcza, że mamy fluctuujący osinolek np. w przypadku nieskończonej płytkeści również występują sity nieskończonej płytkeści, których zasięg zależy od wielkości i geometrycznej płytcei tak zwane krytyczne sity Casimire.